

名古屋大学工学部土圧研究施設正会員 松浦 宏
 " " 市原松平
 千代田化工建設 " " 梅林清夫

1. まえがき

筆者らは室内の大型土槽（内の寸法：長さ 2.3m, 幅 2.0m, 深さ 0.75m）内で圧密し、吸水膨脹させた過正圧粘土（先行正圧圧力：3%、粘土層中央深さにおける過正圧比：約 26）に向かって可動壁を変位させてときの可動壁に作用する抵抗土圧の特性、粘土層の変形特性ならびに壁の変位様式の影響について調べた。^{1), 2)} 壁の変位様式は鉛直に可動壁をその原位置に対する平行に移動させた場合（以下、これを平行移動と称する。）と可動壁の上方にある水平軸を中心とする回転による変位をもつた場合（以下、これを回転変位と称する）の 2 つである。ここでは、さらに考察を加えた結果について報告する。なお、実験には名古屋港金城埠頭の建設現場より採取れた粘土を使用した。この粘土の物理的性質、ならびに実験装置および実験方法については、すでに発表したので、ここでは省略する。

2. 土圧特性

図 1 は可動壁の変位に応じる土圧合力の可動壁内面に対する垂直成分 P_n 、接線成分 P_t 、ならびに土圧合力の相対潜伏点 γ/H の変化を示したものの一例である。

a 図は平行移動の場合を示し、b 図は回転変位の場合を示している。図中、 \leftarrow 印は計算された最大土圧 $P_{n\max}$ を示し、 \rightarrow 印は可動壁下端から発生した帶状の破壊領域が地表面に達したと推定されるときの壁変位の位置の範囲²⁾を示している。 \leftarrow 印の壁変位の位置に対応す

る P_n の大きさは、両壁変位様式ともに、 $P_{n\max}$ の 80~90% であった。また、a, b 両図から同一の壁高 H においては、 $P_{n\max}$ の値に大差はないこと、回転変位における P_n の値は、平行移動における P_n の 2 倍以上が發揮されたこと、ならびに γ/H の値は平行移動の方が幾分大きいことがわかる。なお、 P_n が最大に発揮された壁変位の位置における P_n から求めた壁面と粘土との付着力 C_a は、平行移動の場合 $C_a = (3/2) \cdot Cu$ 、回転変位 $C_a = (1/2) \cdot Cu$ である。²⁾

図 2 は縦軸に実測した $P_{n\max}$ の値を、上述した C_a の値を用いて計算したソコロフスキ法による受動土圧の合力で除した値をヒリ、横軸に初期の壁高 H をとって、各実験からえられた結果を図示したものである。この図には合わせて、ラ

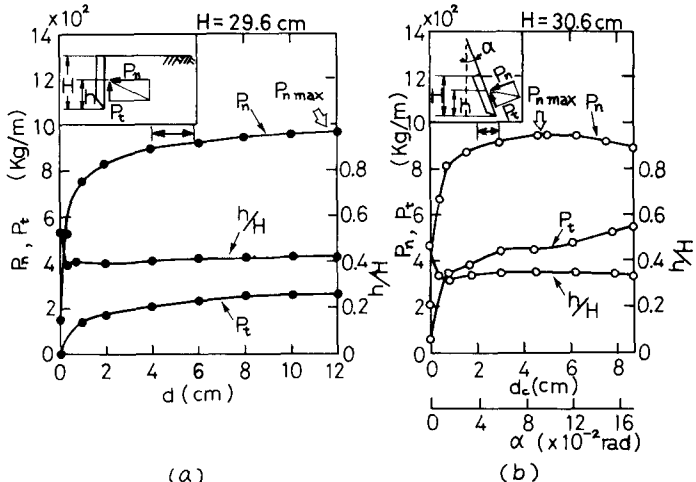


図 - 1

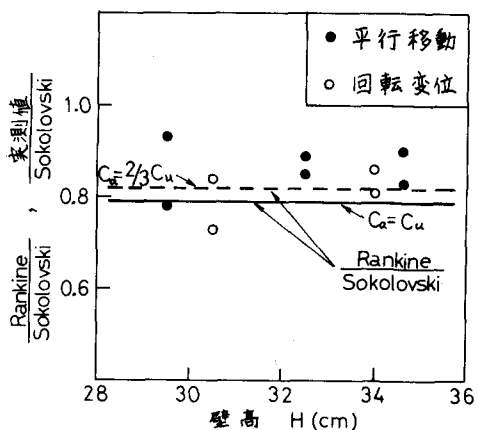


図 - 2

シキンの受動土圧をソコロフスキイ法による受動土圧で除した値を、実線 ($C_a = C_u$) と破線 ($C_a = \frac{2}{3}C_u$) で示した。この図より、1.2 の例外を除けば、実測された P_{nmax} の値は、両壁変位様式とともにソコロフスキイ法による受動土圧の 80%～90% しか發揮されなかつたことがわかる。一方、ランキン土圧はソコロフスキイ法による土圧の 80% 程度に相当しているが、実測値よりシキン土圧に等しいか幾分大きな値であることがわかる。なお、実験を行った範囲内では、ソコロフスキイ法による受動土圧の値は、 $C_a = C_u$ の場合の方が $C_a = \frac{2}{3}C_u$ として場合よりも 4%～5% 大である。このことを考慮して、図 2 に示した実測値を両壁変位様式について比較すると、実験を行った 2 つの壁変位様式は P_{nmax} の値に大きな影響を与えていないようである。しかしながら、図 1 に示したように、壁変位様式は P_{nmax} が發揮されるまでの壁変量に影響を及ぼしている。

3. 粘土層内のせん断ひずみ

壁の変位に応じる粘土層内のせん断ひずみの発達状況についてはすでに明らかにした。²⁾ ここでは壁の変位に応じるせん断ひずみの増分の分布状況について述べる。図 3 は平行移動 (a～c 図) と回転変位 (d～f 図) をそれぞれにおける壁変位の各増分に対する粘土層内のせん断ひずみの増分の分布を示したものの一例である。図にはソコロフスキイ法によるすべり面を示した。回転変位におけるせん断ひずみの測定精度が悪いが、両壁変位様式とともに、壁下端から発生する帶状の領域におけるせん断ひずみの増分が他の領域に比較して大きいことは共通して見られる特徴である。しかしながら、この帶状の領域は、回転変位では計算してすべり面に沿って発生しているが、平行移動では計算してすべり面よりも裏方に位置している。両壁変位様式においてさらに異なる点は壁面付近から斜め下方に向かう領域におけるせん断ひずみの増分が両側の部分よりも大きく現われているのが平行移動で見られるが、回転変位ではこれが見られない。以上に述べた傾向は、可動壁の原位置から累積してせん断ひずみに関する分布性状と合致している。壁の変位様式は、ニヒに示すように、粘土層内の破壊領域の大きさからびくに破壊機構に明確な影響を及ぼしており、この影響が前述した P_{nmax} が発揮されるまでに要する可動壁の変位量の差とつながる可能性がある。

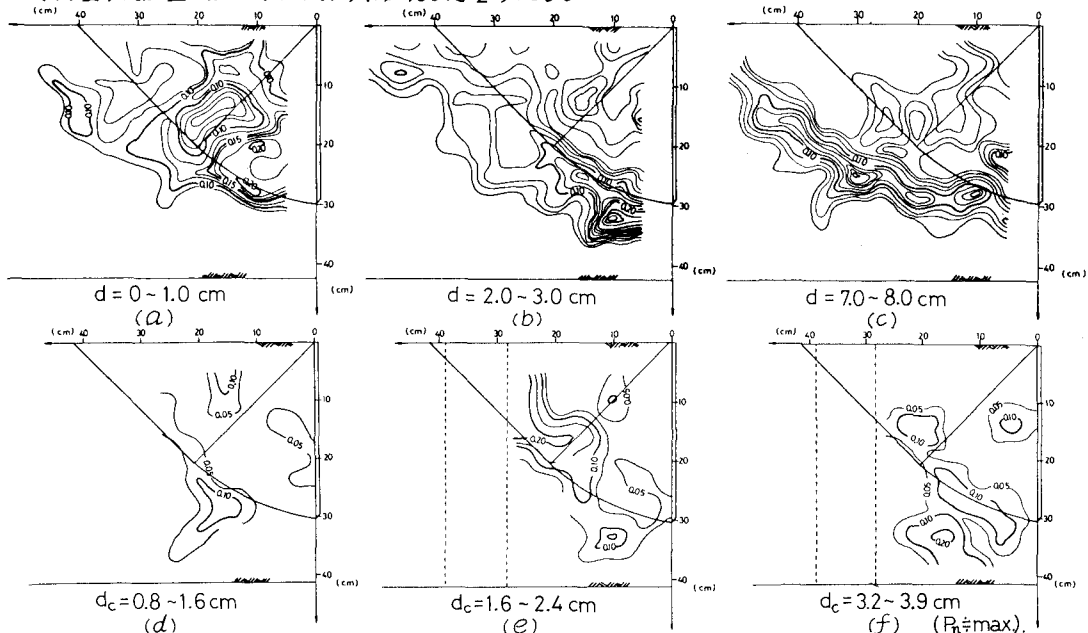


図 - 3

- [参考文献] 1) 市原・松沢・梅林：“直正壁粘土層内の抵抗土圧”，第3回国土工学会年次学術講演会講演概要集第3部，昭和51年10月，pp. 189～190。
2) 市原・松沢・梅林：“壁変位に応じる粘土の受動土圧特性”，第12回土質工学研究発表会，昭和52年度発表論文集，昭和52年6月，pp. 833～836。